

$\text{NH}_3\text{-N}_2$  ЛАЗЕР-УСИЛИТЕЛЬ В ДИАПАЗОНЕ  $800\text{-}870 \text{ см}^{-1}$

М. Ахаров, Б. И. Васильев, А. З. Грасик, А. Б. Ястребков

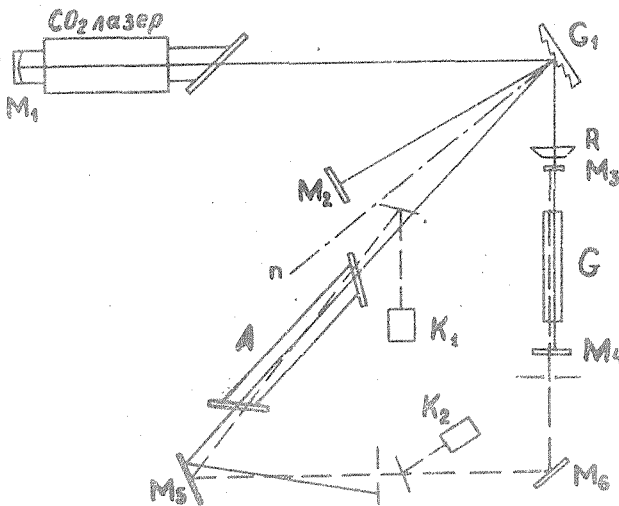
УДК 621.373.826.038.823

Получено эффективное усиление импульсов в новом спектральном диапазоне ( $800\text{-}870 \text{ см}^{-1}$ ). В режиме, близком к насыщению, отношение энергии выходного и входного сигнала усилителя достигает значений 10-20. Измерены коэффициент линейного усиления  $\beta_0$  и интенсивность насыщения  $I_s$  активной среды усилителя.

I. Введение.  $\text{NH}_3\text{-N}_2$  лазер является эффективным источником мощного ИК излучения, перестраиваемого в диапазоне  $745\text{-}928 \text{ см}^{-1}$  [1]. С его помощью была осуществлена многофотонная ИК диссоциация ряда молекул [1]. Для многих приложений необходимо иметь мощные импульсы с управляемыми характеристиками (перестройка по частоте, изменение длительности импульсов вплоть до наносекундного диапазона и т.д.). Например, в [2,3] в режиме генерации  $\text{NH}_3$ -лазера получены импульсы длительностью 1-10 нс. Однако энергия в отдельном импульсе была меньше 10 мДж, что существенно затрудняет практическое применение этого лазера. Наиболее перспективной схемой получения мощных импульсов с управляемыми параметрами является схема задающий генератор - усилитель, которая до настоящего времени в диапазоне частот  $800\text{-}870 \text{ см}^{-1}$  не реализована.

В [4] сообщается о  $\text{NH}_3\text{-He}$  усилителе, работавшем на частоте  $853,6 \text{ см}^{-1}$ . Однако использованная схема усиления не позволила авторам [4] получить эффективное усиление на других частотах этого ИК диапазона.

В данной работе описан  $\text{NH}_3\text{-N}_2$  лазер-усилитель, работавший в режиме насыщения в спектральном диапазоне  $800\text{-}870 \text{ см}^{-1}$ .



Р и с. I. Оптическая схема установки: А - усилитель; Г - задающий генератор;  $M_1 \dots M_6$  - зеркала;  $G_1$  - дифракционная решетка; Р - растр;  $K_{1,2}$  - калориметры

2. Экспериментальная установка. В работе использовалась оптическая схема (рис. I), аналогичная /5/, с задающим генератором, расположенным в канале регистрации. Использование в качестве дисперсионного элемента резонатора  $\text{CO}_2$  лазера решетки  $G_1$  (50 штрихов/мм) позволило, в отличие от /4/, одним и тем же источником возбуждать как задающий генератор  $G$ , так и усилитель  $A$ . Составной резонатор  $\text{CO}_2$  лазера был образован зеркалом  $M_1$  ( $R = 20 \text{ м}$ ), дифракционной решеткой  $G_1$ , работающей в автоколлиционном режиме по третьему порядку, и плоским зеркалом  $M_2$ , перпендикулярным выходящему через второй порядок решетки  $G_1$  излучению  $\text{CO}_2$  лазера, настроенного на частоту  $1084,6 \text{ см}^{-1}$  (линия 9К(30)). При этом излучение генерации  $\text{CO}_2$  лазера выходило через нулевой и первый порядки решетки  $G_1$  с энергетическим соотношением 1:4. Излучение, выходящее через первый порядок, использовалось для накачки киевты усилителя (плотность энергии излучения накачки достигала  $0,7 \text{ Дж}/\text{см}^2$ ).

В качестве задающего генератора использовался светопроводный  $\text{NH}_3\text{-N}_2$  лазер с растровой системой оптической накачки /6/, которая позволила поднять плотность энергии излучения накачки задающего генератора до  $1\text{-}2 \text{Дж/см}^2$ . Излучение  $\text{CO}_2$  лазера, выходящее через нулевой порядок решетки  $G_1$ , заводилось с помощью фокусирующего растра  $R$  из  $\text{BaF}_2$  в медной светопровод сечением  $0,5\text{x}0,5 \text{ см}^2$  и длиной 70 см. Резонатор задающего генератора был образован зеркалом  $M_3$  и плоскопараллельной пластиной из кремния  $M_4$ . Излучение генерации светопроводного лазера с помощью зеркал  $M_5$  и  $M_6$  направлялось в кювету усилителя.

Таким образом использовалась схема усилителя, в которой импульс накачки и усиливаемый импульс распространяются навстречу друг другу.

В качестве активной среды как усилителя, так и задающего генератора использовалась смесь  $\text{NH}_3\text{-N}_2$ . Кювета усилителя имела длину 1 м и диаметр входного отверстия 60 мм. Энергия излучения задающего генератора в импульсе длительностью 0,5-1 мкс могла регулироваться от 1 до 20 мДж. Регистрация входного и усиленного сигнала осуществлялась с помощью калориметров ВЧД-1. Для того чтобы избавиться от фонового излучения накачки, отраженного от зеркала  $M_4$ , усиливаемый сигнал направлялся под углом к оси накачки усилителя. Спектральные измерения были выполнены с помощью модифицированного монохроматора ИКМ-1 /5/.

3. Параметры активной среды  $\text{NH}_3\text{-N}_2$  усилителя. Коэффициент резонансного усиления среды на единицу длины определяется двумя параметрами излучающих частиц:  $\sigma$  - сечением радиационного перехода между двумя рассматриваемыми уровнями и  $N = N_2 - N_1$  - плотностью инверсной населенности этих уровней.

Обычно нелинейность усиления возникает за счет изменений разности заселенностей уровней под действием интенсивного излучения. Если длительность импульса  $\tau_u$  больше времени релаксации населенности  $T_1$  (именно этот случай характерен для  $\text{NH}_3\text{-N}_2$  усилителя при  $\tau_u \approx 0,5\text{-}1 \text{ мкс}$ ), то коэффициент усиления с учетом насыщения определяется выражением:

$$\gamma = \frac{\gamma_0}{1 + I/I_s}, \quad (1)$$

где  $I_s = h\nu/2\sigma T_1$  - интенсивность насыщения активной среды усилителя.

тели,  $\gamma_0$  – коэффициент линейного усиления.

Таким образом, основными параметрами усиливающей среды, определяющими коэффициент насыщенного усиления, являются  $\gamma_0$  и  $I_s$ .

Методика определения оптимальных значений этих параметров была основана на следующем. Сначала оптимизировался парциальный состав и суммарное давление  $p_{\Sigma}$  смеси  $\text{NH}_3\text{-N}_2$  в усилителе. Как и следовало ожидать, они оказались близки к оптимальным значениям, характерным для  $\text{NH}_3\text{-N}_2$  лазера, работающего при той же длине активной среды и том же уровне плотности энергии накачки (смесь  $\text{NH}_3:\text{N}_2 = 1:40, 1:50$ ,  $p_{\Sigma} = 40\text{-}50 \text{ мм рт.ст.}$ ) /5/.

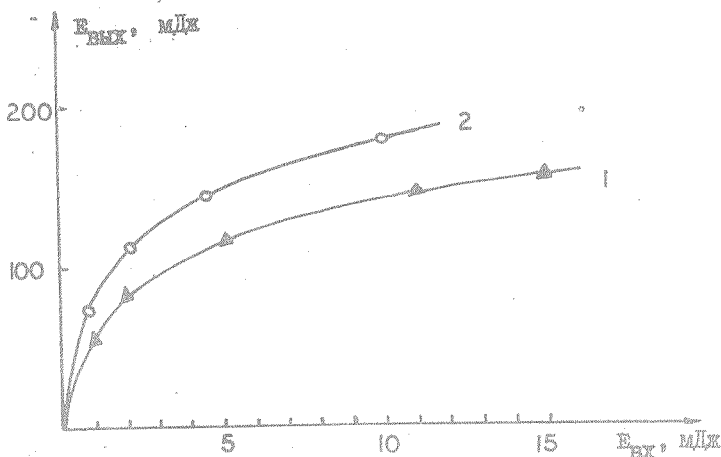


Рис. 2. Зависимость энергии усиленного сигнала от энергии входного: 1 – широкополосный сигнал; 2 – узкополосный сигнал

Затем измерилась зависимость энергии усиленного сигнала от энергии входного (рис. 2). Измерение было проведено как при широкополосном (дискретный набор генерируемых частот в диапазоне  $800\text{-}870 \text{ см}^{-1}$ ), так и при узкополосном (генерация на одной линии из этого набора) входном сигнале. Из рис. 2 видно, что усиление имеет нелинейный характер как для широкополосного (кривая 1), так и для узкополосного (кривая 2) входного сигнала. В этом случае

$$\ln(I_{\text{вых}}/I_{\text{вх}}) + (I_{\text{вых}} - I_{\text{вх}})/I_s = \gamma_0 L, \quad (2)$$

где  $I_{\text{вых}}$ ,  $I_{\text{вх}}$  - интенсивности входного и усиленного сигнала. Тогда из выражения (2) можно определить как коэффициент линейного усиления  $\gamma_0$ , так и интенсивность насыщения  $I_s$ , а следовательно, и коэффициент насыщенного усиления  $\chi$ . Зависимость (2) приведена на рис. 3.

При работе задающего генератора на смеси  $\text{NH}_3:\text{N}_2 = 1:100$  ( $p_{\Sigma} = 100 \text{ мм рт.ст}$ ) усиливаемый сигнал состоял из 7 линий: aR(6,0), aR(6,1), bP(7,k), aP(5,3), aP(5,2), aP(4,0) и bP(5,k) с частотами 816,8; 816,2; 828; 832; 834; 853,6 и  $868 \text{ см}^{-1}$  соответственно. При этом коэффициент усиления  $\gamma_0$  составил  $\sim 5 \cdot 10^{-2} \text{ см}^{-1}$  (кривая 1 на рис. 3). При генерации на одной линии ( $\nu_g = 828 \text{ см}^{-1}$ , смесь  $\text{NH}_3:\text{N}_2 = 1:20$ ,  $p_{\Sigma} = 20 \text{ мм рт.ст}$ ) коэффициент ненасыщенного усиления оказался несколько выше ( $\gamma_0 = 6 \cdot 10^{-2} \text{ см}^{-1}$ , кривая (2) на рис. 3). Интенсивность насыщения  $I_s$  в обоих случаях находится в пределах 70-90  $\text{kVt}/\text{cm}^2$ . Следует отметить, что в [4] было проведено измерение коэффициента усиления  $\gamma_0$  в смеси  $\text{NH}_3:\text{He} = 1,5:350$  ( $p_{\Sigma} = 350 \text{ мм рт. ст}$ ) на частоте 853,6  $\text{cm}^{-1}$ .

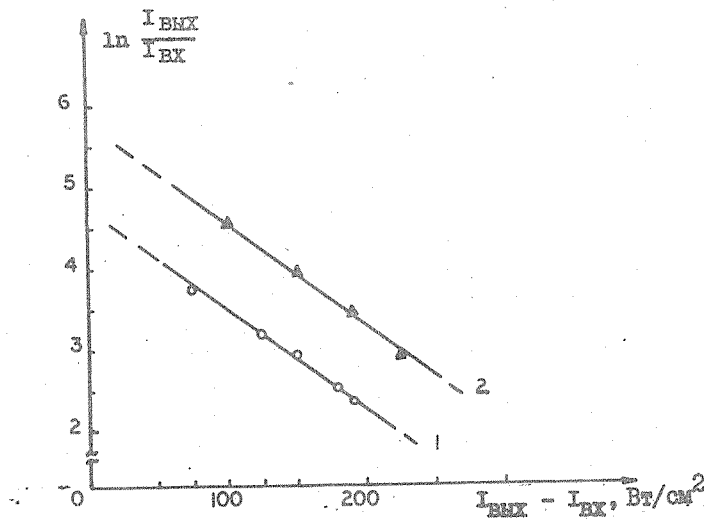


Рис. 3. Зависимость  $\ln(I_{\text{вых}}/I_{\text{вх}})$  от  $I_{\text{вых}} - I_{\text{вх}}$ : 1 - широкополосный сигнал; 2 - узкополосный сигнал

Однако из-за возникновения паразитной люминесценции не было эффективного усиления на частоте  $828 \text{ см}^{-1}$ . То, что нам удалось получить эффективное усиление на частоте  $828 \text{ см}^{-1}$ , связано со следующими обстоятельствами. Во-первых, в наших опытах длина активной среды усилителя была почти в 2 раза меньше, чем в /4/. Во-вторых, механизм возникновения инверсной населенности на частоте  $853,6 \text{ см}^{-1}$  связан с релаксационными процессами в активной среде, которые зависят от ее парциального состава. В нашем случае парциальное давление буферного газа было существенно меньше, чем в /4/. При этих условиях паразитная люминесценция на частоте  $853,6 \text{ см}^{-1}$  не возникает, что и позволяет провести эффективное усиление на частоте  $828 \text{ см}^{-1}$ .

При работе усилителя в режиме, близком к насыщению (входной сигнал  $10\text{--}15 \text{ мДж}$ ), на выходе были получены импульсы с энергией до  $200 \text{ мДж}$  (рис. 2, кривая 2), что формально соответствует КПД  $\eta \sim 4\%$ . Однако с учетом фактора геометрического заполнения  $S$ , равного отношению площадей поперечного сечения пучка входного сигнала и накачки, фактический КПД будет значительно выше. Дело в том, что в нашем случае  $S = 0,2$ . Следовательно, использование усилителя с  $S = 1$  должно повысить эффективность его работы приблизительно в 5 раз. Таким образом, на выходе такого усилителя можно получать импульсы с энергией  $\sim 1 \text{ Дж}$ .

4. Заключение. В новом спектральном диапазоне ( $800\text{--}870 \text{ см}^{-1}$ ) получено эффективное усиление импульсов длительностью  $0,5\text{--}1 \text{ мкс}$ . Использование в качестве задающего генератора  $\text{NH}_3\text{-N}_2$  лазера с пассивной синхронизацией продольных мод /3/ позволит при соответствующих условиях выделить и усилить один наносекундный импульс из пучка. При этом параметры усилителя позволяют надеяться на получение энергии  $\sim 0,1\text{--}0,2 \text{ Дж}$  с длительностью импульса порядка наносекунды, что существенно расширит область практического применения  $\text{NH}_3\text{-N}_2$  лазера.

Поступила в редакцию  
26 мая 1982 г.

#### Л и т е р а т у р а

1. Б. И. Васильев и др., Труды ФИАН, 136, 3 (1982).
2. В. Deka et al., Opt. Commun., 32, 127 (1981).
3. М. Ахтаров и др., Квантовая электроника, 9, № 3, 655 (1982).

4. H. Tashiro et al., Japanese J. of Appl. Phys., 20, L765 (1981).
5. M. Ахрапов и др., Квантовая электроника, 8, № 6, I229 (1982).
6. Б. И. Васильев и др., Квантовая электроника, 6, № 3, III6 (1980).

*Краткие сообщения по физике № 2 1983*